

برآورد خصوصیات هیدرودینامیک اشباع خاک با روش مدل معکوس عددی

جمال محمد ولی سامانی^{*}، پرویز فتحی^۱

۱- دانشیار گروه مهندسی سازه‌های آبی، دانشکده کشاورزی، دانشگاه تربیت مدرس

۲- استادیار گروه مهندسی آب، دانشگاه کردستان

* تهران، صندوق پستی ۴۸۳۸ - ۱۴۱۵۵

J_samani2003@yahoo.com

چکیده - هدایت آبی اشباع و تخلخل مؤثر، مهمترین خصوصیات هیدرودینامیک خاک به شمار می‌روند که نقشی تعیین کننده در طراحی فاصله زهکش‌ها ایفا می‌کنند. ثابت بودن تخلخل مؤثر یکی از فرضهای اصلی در مدل‌های تحلیلی زهکشی است. این فرض باعث ایجاد خطأ در پیش‌بینی نوسانات سطح ایستابی در اطراف زهکش‌ها می‌شود. مدل‌سازی عددی ابزاری کارامد به منظور شبیه‌سازی پدیده‌های مختلف به شمار می‌رود. در این تحقیق با فرض ثابت و متغیر بودن تخلخل مؤثر، مدل‌های عددی بسط داده و از آنها در پیش‌بینی ارتفاع سطح ایستابی در اطراف زهکش استفاده شد. با انتخاب الگوریتم بهینه‌سازی مناسب و ارتباطدهی آن به مدل‌های عددی، مدل‌های معکوس مناسب برای برآورد مقادیر میانگین خصوصیات آبی اشباع خاک طراحی شد. با طراحی و ساخت مدل فیزیکی زهکشی در آزمایشگاه، داده‌های موردنیاز برای واسنجی و آزمون مدل‌های پیشنهادی اندازه‌گیری شد. از داده‌های آزمایشگاهی محققان دیگر نیز برای ارزیابی دقت پیش‌بینی مدل‌های پیشنهادی استفاده شد. نتایج این تحقیق نشان داد که استفاده از مدل عددی با فرض متغیر بودن تخلخل مؤثر، باعث افزایش دقت پیش‌بینی نیمرخ سطح ایستابی در اطراف زهکش‌ها می‌شود. همچنین مدل معکوس عددی با فرض فوق، برآورد بهتری را از مقادیر میانگین خصوصیات هیدرودینامیک و اشباع خاک به دست می‌دهد.

کلیدواژگان: مدل عددی، روش مسئله معکوس، هدایت آبی، تخلخل مؤثر.

قدم در طراحی سیستم زهکشی در جهت افزایش تولید محصولات کشاورزی با در نظر گرفتن ملاحظات زیست‌محیطی به شمار می‌رود. مدل‌سازی عددی ابزاری کارامد در طراحی سیستمهای مختلف به شمار می‌رود. اعمال شرایط مرزی مختلف و فرضیات اولیه کمتر، از جمله ویژگی‌های اصلی مدل‌های عددی است. این ویژگیها و همچنین وجود کامپیوترهایی با سرعت بالا باعث شده است تا

۱- مقدمه
امروز نقش سیستمهای زهکشی فراتر از اهداف مرسوم و تعریف شده برای آن است. این فناوری از یک سو باعث بهبود شرایط خاک و افزایش عملکرد محصولات شده و از طرف دیگر زه آب خروجی، باعث ایجاد مشکلات زیست‌محیطی و آلودگی منابع آبی می‌شود. مدل‌سازی ریاضی عملکرد زهکش در خروج آبهای اضافی از خاک، مهمترین

بوسینسک بهره برده و مدل WATRCOM را بسط و توسعه داده‌اند. از این مدل می‌توان برای شبیه‌سازی حرکت آب زیرزمینی در حوزه آبریز، مشتمل بر آبراهه‌های طبیعی، کانال‌های زهکشی و نهرچه‌ها بهره برد.

مهمترین مشکل مدل‌های ریاضی (عددی و تحلیلی)، تعیین مقادیر مناسب برای پارامترهای ورودی به آنها است. خصوصیات هیدرودینامیکی خاک مهمترین پارامترهای ورودی مدل ریاضی زهکشی هستند. این خصوصیات نقشی تعیین کننده در دقت پیش‌بینی مدل‌ها ایفا می‌کنند. اندازه‌گیری و تعیین مقدار این پارامترها یکی از کارهای مشکل در پژوهش‌های زهکشی به شمار می‌رود (Schwab et al., 1996). تغییرات این پارامترها در خاک آنقدر زیاد است که به سختی می‌توان با روش‌های اندازه‌گیری نقطه‌ای، مقدار میانگین آنها را برآورد کرد تا با استفاده از آن و مدل زهکشی، فاصله بین زهکش‌ها با دقت خوبی تعیین شود. بنابراین با بررسی مختصر نتایج تحقیقات، می‌توان به این نکته بی‌برد که کار به ظاهر ساده تعیین مقادیر میانگین پارامترهای هیدرودینامیک خاک، مسئله مهندسی پیچیده‌ای به شمار می‌رود.

به دلیل دشواری‌های مربوط به اندازه‌گیری‌های مستقیم، در سالهای اخیر تلاش‌هایی شده تا این ویژگیها را از راههای غیرمستقیم با تقریبی مناسب برآورد کنند. یکی از ابزارهایی که در سالهای اخیر برای برآورد غیرمستقیم خصوصیات سیستمهای مختلف به کار رفته، استفاده از روش مسئله معکوس³ است. در این روش با استفاده از الگوریتم بهینه‌سازی پارامترهای ورودی به مدل شبیه‌سازی طوری تعیین می‌شود که خطای پیش‌بینی مدل به حداقل مقدار ممکن کاهش یابد. یکی از مهمترین مزایای این روش آن است که

روزی‌روز بر دامنه کاربرد این روش‌ها در علوم مختلف، به‌ویژه علوم سیالات اضافه شود. بدون شک پیشرفت فناوری و صنعت در سالیان اخیر مرهون استفاده از کامپیوتر و توسعه روش‌های عددی بوده است. در میان روش‌های عددی، روش حجم کترال از ویژگی‌های ممتازی برخوردار است. ایده اصلی در این روش، از نظر درک بسیار ساده و از نظر فیزیکی قابل تفسیر است. امروز این روش در علوم سیالات جایگزین روش دقیق اجزای محدود شده است (پاتانکار، ۱۳۸۲). در این تحقیق از روش مذبور برای شبیه‌سازی عددی جریان به طرف زهکش‌ها در حالتهای مختلف استفاده شده است.

معادله بوسینسک¹ از یکی از معادلات دیفرانسیلی است که به‌طور گسترده‌ای توسط محققان برای شبیه‌سازی جریان اشباع در محیط متخلخل به کار رفته است. محققان با حل عددی و تحلیلی این معادله، مدل‌های غیرماندگار مختلفی را برای تعیین فاصله زهکش‌ها ارائه کرده‌اند. خطی‌سازی معادله بوسینسک و ثابت بودن تخلخل مؤثر، فرضهای اصلی در استخراج تمامی مدل‌های تحلیلی ارائه شده در زمینه جریان غیرماندگار به طرف زهکش‌ها است (Kumar et al. 1994; Verma et al., 1998).

پندی و همکاران (۱۹۹۲) با اندازه‌گیری مقدار تخلخل مؤثر خاک در ارتفاعهای مختلف سطح ایستابی در اطراف زهکش برای تابع تخلخل مؤثر خاک، رابطه‌ای تجربی را ارائه کرده و سپس با استفاده از آن و روش تفاضل محدود و شمای برونیابی کرانک-نیکلسون² به حل عددی معادله بوسینسک پرداختند.

پارسونز و همکاران (۱۹۸۷ و ۱۹۹۱ الف و ب) از روش عناصر محدود برای حل عددی معادله

3. Inverse Problem Technique

1. Boussinesq equation
2. Extrapolated Crank – Nicholson

مقادیر خصوصیات هیدرولیکی غیراشباع خاک را با استفاده از تغییرات رطوبت اندازه‌گیری شده و روش مسئله معکوس برآورد کردند.

مقال و همکاران (۱۹۹۳) در طرحی تحقیقاتی، مقادیر هدایت آبی غیراشباع را اندازه‌گیری کردند. سپس با استفاده از سه برنامه بهینه‌سازی، مقدار این خصوصیت را پیش‌بینی و با مقادیر اندازه‌گیری شده مقایسه کردند. نتایج نشان داد که دو برنامه، مقادیر هدایت آبی غیر اشباع را با دقت بهتر و هزینه کمتری برآورد می‌کنند.

نگاهی به تحقیقات قبلی نشان می‌دهد که تعیین ورودیهای مطلوب ویژگیهای هیدرولیکی خاک هنوز به عنوان عاملی محدود کننده برای طراحان زهکشی و کاربران مدل‌های شبیه‌سازی وجود دارد. هدف از این تحقیق بسط، واسنجی و آزمون مدل‌های معکوس عددی مناسب برای برآورد مقادیر میانگین هدایت آبی اشباع، تخلخل مؤثر و پارامترهای ثابت تابع تخلخل مؤثر خاک اطراف زهکش‌ها است.

۲- مواد و روشها

۱-۲- تهیه مدل‌های عددی

در این تحقیق با استفاده از روش حجم کترل، معادله دیفرانسیلی حاکم بر جریان اشباع به‌طرف زهکش در دو حالت ثابت و متغیر بودن تخلخل مؤثر، به روش عددی حل و به عنوان مدل شبیه‌سازی در روش مسئله معکوس استفاده شد. در مدل عددی، محدودیت‌های اصلی مدل‌های تحلیلی زهکشی، مانند هندسه و شرایط مرزی میدان محاسباتی از بین رفته و تحلیل دقیق‌تری میسر می‌شود.

۱-۱- میدان حل

سطح ایستابی و علائم مربوط در اطراف زهکش

پیش‌بینی خصوصیات هیدرولیکی خاک بر پایه یک متغیر قابل دسترس (مانند اندازه‌گیری تغییرات زمانی رطوبت) در شرایط واقعی زمین صورت می‌گیرد (Ritter et al., 2003).

به‌تازگی از مدل‌های معکوس به‌طور گسترده‌ای در تحقیقات هیدرولیک و فیزیک خاک استفاده می‌شود (Hopmans and Simunek, 1999; Zou et al., 2001; Ritter et al., 2003).

در زمینه کاربرد این روش در مسائل مرتبط با زهکش‌های زیرزمینی تحقیقات بسیار اندکی انجام شده است.

داین و هروسکا (۱۹۸۳) برای اولین بار از این روش برای تخمین پارامترهای ثابت معادله وانگنوختن با استفاده از داده‌های مربوط به پروفیل رطوبتی خاک همگن بعد از آبیاری استفاده کردند. در این تحقیق دو پارامتر هیدرولیکی برآورد شده و بقیه با استفاده از روش‌های آزمایشگاهی اندازه‌گیری شد.

بعد از کارهای اولیه داین و هروسکا (۱۹۸۳)، مطالعات دیگری در جهت بهبود روش مسئله معکوس و کاربرد صحرایی آن به‌منظور تعیین خصوصیات هیدرولیکی خاک، توسط محققان انجام شد (Abbaspour et al., 1999; Jhorar et al., 2002). برای مثال عباس‌پور و همکاران (۱۹۹۹) از روش مسئله معکوس برای پیش‌بینی پارامترهای ثابت منحنی رطوبتی خاک لایه‌ای استفاده کردند.

کمار و همکاران (۱۹۹۴) در طرحی تحقیقاتی، نسبت ضریب انتقال به تخلخل مؤثر خاک اطراف زهکش را با روش معکوس پیش‌بینی کردند. در این تحقیق، فقط نسبت هدایت هیدرولیکی اشباع به تخلخل مؤثر پیش‌بینی شده و هیچ یک از خصوصیات هیدرولیکی خاک به‌صورت جداگانه برآورد نشده است.

ریتر و همکاران (۲۰۰۳) در طرحی تحقیقاتی،

این معادله بر مبنای فرضیات دوپوئی - فورشهایمر^۱ و اصل پیوسنگی جریان استوار بوده و معادله دیفرانسیلی درجه ۲، سهموی و غیرخطی است. استخراج شکل کلی این معادله، به ثابت یا متغیر فرض کردن پارامتر تخلخل مؤثر بستگی دارد. با فرض ثابت بودن تخلخل مؤثر خاک، شکل عمومی این معادله به صورت زیر خواهد شد.

$$k \frac{\delta}{\delta x} \left[H \frac{\delta H}{\delta x} \right] = f \frac{\delta H}{\delta t} \quad (1)$$

که در آن H ارتفاع سطح ایستابی نسبت به لایه نفوذناپذیر، f , k هدایت آبی اشباع و تخلخل مؤثر خاک، x فاصله افقی از زهکش و t زمان از شروع زهکشی است.

ب) با فرض متغیر بودن تخلخل مؤثر

در این قسمت برای استخراج معادله حاکم بر جریان از معادله ۲ و با تغییر متغیر استفاده می‌شود. اگر h ارتفاع سطح ایستابی در بالای سطح زهکش‌ها و d_e فاصله زهکش از لایه غیرقابل نفوذ باشد، در این صورت با فرض متغیر بودن تخلخل مؤثر خاک شکل عمومی این معادله به صورت زیر خواهد بود:

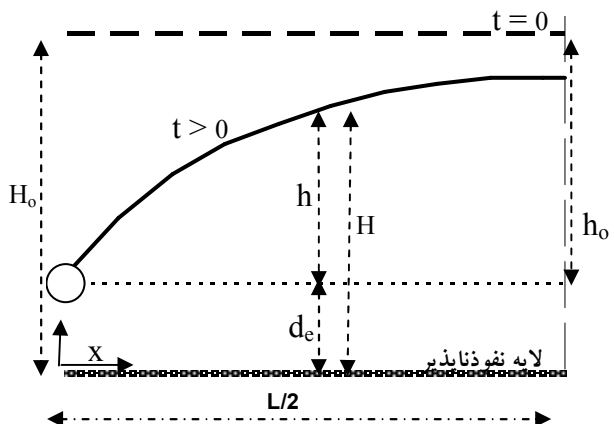
$$f_{(h)} \frac{\partial h}{\partial t} = k \frac{\partial}{\partial x} \left((h + d_e) \frac{\partial h}{\partial x} \right) \quad (2)$$

که در آن $f_{(h)}$ تابع ارتباط تخلخل مؤثر خاک و ارتفاع سطح ایستابی در بالای زهکش‌ها است. در این تحقیق از رابطه تجربی پندی و همکاران (۱۹۹۲) برای توصیف ارتباط تخلخل مؤثر و ارتفاع سطح ایستابی در اطراف زهکش استفاده شد (رابطه ۱۳).

که در آن $f_{(h)}$ تخلخل مؤثر خاک در زمانی است که سطح ایستابی در عمق زهکشی قرار گرفته است، $f_{(h)}$ تخلخل مؤثر خاک در هر سطح ایستابی h , h_0 ارتفاع سطح ایستابی در بالای زهکش در

زیرزمینی، به صورت طرحواره در شکل ۱ نشان داده شده است.

در این شکل L فاصله بین دو زهکش، H ارتفاع سطح ایستابی در بالای لایه نفوذناپذیر، h ارتفاع سطح ایستابی در بالای سطح زهکش‌ها و d فاصله عمودی زهکش تا لایه نفوذناپذیر است. در این تحقیق به منظور ملاحظه کردن انحنای جریان در اطراف زهکش و وجود جریان شعاعی، از عمق معادل استفاده شده است. H_0 و h_0 به ترتیب ارتفاع سطح ایستابی اولیه در بالای لایه نفوذناپذیر و سطح زهکش است.



شکل ۱ شماتیک و علائم توصیف کننده مسائل زهکشی زیرزمینی

در این تحقیق با توجه به قرینه بودن جریان آب در حد فاصل دو زهکش زیرزمینی، محدوده بررسی جریان آب بطرف زهکش‌ها از محل نصب زهکش تا حد واسطه دو زهکش است (شکل ۱).

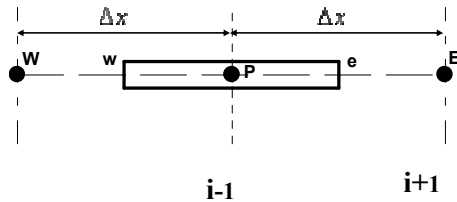
۲-۱-۲- معادلات حاکم بر جریان

الف) با فرض ثابت بودن تخلخل مؤثر

معادله بوسینسک از جمله معادلات دیفرانسیلی است که در شبیه سازی جریان اشباع آب به طرف زهکش‌ها کاربرد وسیعی پیدا کرده است (Chauhan et al., 1968; Van Schilfgaarde, 1974)

1. Dupuit - Forchheimer

رفته است. در این روش از معادله حاکم بر جریان روی حجم کنترل (شکل ۲) انتگرال‌گیری می‌شود.



شکل ۲ موقعیت حجم کنترل

با انجام انتگرال‌گیری، معادله دیفرانسیل حاکم منفصل‌سازی شده و به یک معادله جبری به یکی از شکل‌های زیر تبدیل می‌شود.

الف) با فرض ثابت بودن تخلخل مؤثر:

$$a_i H_{i-1}^{n+1} + c_i H_{i+1}^{n+1} + d_i H_i^n = b_i H_i^{n+1} \quad (6)$$

که در آن:

$$\begin{aligned} a_i &= \frac{k \Delta t H_w^{n+1}}{\Delta x} & c_i &= \frac{k \Delta t H_e^{n+1}}{\Delta x} \\ d_i &= f \Delta x & b_i &= a_i + c_i + d_i \end{aligned} \quad (7)$$

$H_w^{n+1} = \frac{H_{i-1}^{n+1} + H_i^{n+1}}{2}$ $H_e^{n+1} = \frac{H_{i+1}^{n+1} + H_i^{n+1}}{2}$ که در آن $H_{i-1}^{n+1}, H_i^{n+1}, H_{i+1}^{n+1}$ به ترتیب ارتفاع سطحی ایستابی در گره‌های $i-1, i, i+1$ و در زمان $n+1$ به ترتیب طول گام مکانی و زمانی است.

ب) با فرض متغیر بودن تخلخل مؤثر:

$$c_i h_{i+1}^{n+1} + a_i h_{i-1}^{n+1} + d_i h_i^n = b_i h_i^{n+1} \quad (8)$$

که در آن:

$$\begin{aligned} c_i &= \frac{k \Delta t (h_e^{n+1} + d_e)}{\Delta x} & h_e^{n+1} &= \frac{h_{i+1}^{n+1} + h_i^{n+1}}{2} \\ a_i &= \frac{k \Delta t (h_w^{n+1} + d_e)}{\Delta x} & h_w^{n+1} &= \frac{h_{i-1}^{n+1} + h_i^{n+1}}{2} \\ d_i &= f_{(h_i^{n+1/2})} \Delta x & h_i^{n+1/2} &= \frac{h_i^{n+1} + h_i^n}{2} \\ b_i &= c_i + a_i + d_i \end{aligned} \quad (9)$$

زمان صفر و q و Z پارامترهای ثابت تجربی هستند. با در نظر گرفتن مقادیر مناسبی برای q و Z می‌توان انطباق خوبی بین تخلخل مؤثر محاسبه شده و آزمایشگاهی برای خاکهای مختلف ایجاد کرد (Pandy et al., 1992).

$$f_{(h)} = f_o \left[1 - \frac{q \frac{h}{h_o}}{1 - \frac{h}{h_o}} \right] \left[\frac{h}{h_o} + \frac{h_o}{Z} \right] \quad (3)$$

۳-۱-۲- شرایط اولیه و مرزی

شرایط اولیه و مرزی مورد استفاده در این تحقیق به صورت زیر است:

الف) با فرض ثابت بودن تخلخل مؤثر:

$$\begin{aligned} 0 \leq x &\leq \frac{L}{2}, & t = 0 \\ x = 0, & t > 0 \\ x = \frac{L}{2}, & t > 0 \end{aligned} \quad (4)$$

ب) با فرض متغیر بودن تخلخل مؤثر:

$$\begin{aligned} h(x, 0) &= h_o & 0 \leq x \leq L \\ h(0, t) &= 0 & t > 0 \\ \frac{\partial h}{\partial x} &= 0 & x = \frac{L}{2} \end{aligned} \quad (5)$$

۴-۱-۲- روش حل

در این تحقیق از روش حجم کنترل برای حل عددی معادله حاکم بر جریان استفاده شد. این روش ابتدا به عنوان نوعی فرمول‌بندی در روش تفاضل محدود مطرح شد؛ اما بعدها به عنوان روشی جداگانه توسعه یافت و در نرم‌افزارهای تجاری سیالات استفاده شد. این روش با کارایی و پایداری مناسب در علوم مختلف مهندسی به کار

است. مشاهده شد که در تمامی زمانها، نتایج مدل‌های عددی و تحلیلی گلور-دام همخوانی مناسبی دارند. این مطلب بیانگر صحت پیش‌بینی مدل‌های عددی یک بعدی پیشنهادی است.

۳- الگوریتم بهینه‌سازی

بسط مدل معکوس مناسب مستلزم انتخاب الگوریتم بهینه‌سازی قوی در تعیین حداقل مطلق^۲ خطای پیش‌بینی مدل شبیه‌سازی است. بدلیل آنکه محدوده تغییرات مقدار تخلخل مؤثر و هدایت آبی اشباع خاک‌های زراعی معلوم و شناخته شده است، لذا در این تحقیق به علت خصوصیات طبیعی و فیزیکی پارامترهای مورد مطالعه، برای کالیبره کردن مدل باید از یکی از روش‌های بهینه‌سازی مقید استفاده شود.

در برنامه کامپیوتری تهیه شده به زبان فرتون،تابع هدفی که حداقل می‌شود، به صورت زیر تعریف شده است:

$$F = \sum_{i=1}^n (h_i^m - h_i^c)^2 \quad (12)$$

که در آن h_i^m ارتفاع سطح ایستابی اندازه‌گیری شده در بالای سطح زهکش، h_i^c ارتفاع سطح ایستابی محاسبه شده در بالای سطح زهکش‌ها که با مدل‌های عددی تهیه شده در هر نقطه و در هر زمان، محاسبه می‌شود و n تعداد نقاط اندازه‌گیری است.

باتوجه به تابع هدف مسئله که محاسبه مشتق آن امکان‌پذیر نیست، باید از روش‌های مستقیم - که نیازی به محاسبه مشتق تابع ندارند - استفاده شود. بدلیل آنکه استفاده از روش‌های بهینه‌سازی نامقید در پژوهش‌های کاربردی، ساده‌تر از روش‌های بهینه‌سازی مقید است، لذا در این تحقیق از روش بهینه‌سازی نامقید برای حداقل‌سازی تابع هدف استفاده شد.

با اعمال معادلات جبری بر گره‌های محاسباتی، دستگاه معادلاتی تشکیل می‌شود که با اعمال شرایط اولیه و مرزی و به روش تکرار گوس - سایدل^۱، می‌توان مقادیر H و h را در زمان و مکانهای مختلف را محاسبه کرد.

۴-۱-۵- ارزیابی صحت مدل عددی

برای اثبات صحت عملکرد مدل‌های عددی، مقادیر ارتفاع سطح ایستابی در حد واسطه دو زهکش توسط مدل‌های عددی پیش‌بینی و با نتایج مدل تحلیلی گلور-دام مقایسه شد (معادله ۱۰):

$$h_i^c(x, t) = \frac{4h_o}{\pi} \sum_{m=1,3,5,\dots}^{\infty} \frac{1}{m} \cdot e^{-m^2 \cdot a' \cdot t} \cdot \sin\left(\frac{m \pi x}{L}\right) \quad (10)$$

که در آن:

$$a' = \frac{\pi^2 k D}{f L^2} \quad , \quad D = d_e + \frac{h_o}{2} \quad (11)$$

در این معادلات D مقدار متوسط پتانسیل هیدرولیکی است.

برای ارزیابی صحت عملکرد مدل‌های عددی پیشنهادی، از داده‌های پندی و همکاران (۱۹۹۲) استفاده شد. پارامترهای ورودی دو مدل به صورت زیر در نظر گرفته شد.

الف) با فرض ثابت بودن تخلخل مؤثر:

$$k = 0.0375 \text{ m/day} \quad f = 0.031 \text{ m}^3/\text{m}^3$$

$$L = 9.4 \text{ m} \quad d_e = 0.38 \text{ m} \quad h_o = 1.22 \text{ m}$$

ب) با فرض متغیر بودن تخلخل مؤثر:

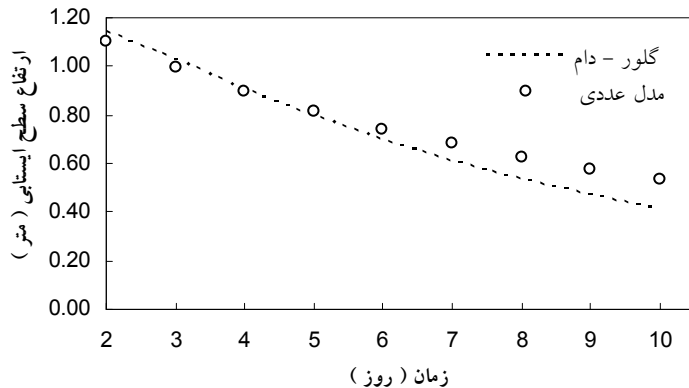
$$k = 0.0375 \text{ m/day} \quad f_o = 0.0375 \quad q = 0.8$$

$$Z = 0.6 \quad L = 9.4 \text{ m} \quad d_e = 0.38 \text{ m} \quad h_o = 1.22 \text{ m}$$

مقادیر ارتفاع سطح ایستابی پیش‌بینی شده به وسیله مدل یکبعدی، با فرض ثابت بودن تخلخل مؤثر و مدل تحلیلی گلور-دام در شکل ۳ ترسیم شده

2. Absolute minimum

1. Gauss- Seidel



شکل ۳ تغییرات زمانی ارتفاع سطح ایستابی در حد واسط دو زهکش

بودن تخلخل مؤثر برای محاسبه تئوری ارتفاع سطح ایستابی در بالای سطح زهکشی در هر زمان و در هر نقطه استفاده می‌شود.

حداقل بودن تابع هدف این مطلب را آشکار می‌سازد که مقادیری برای هدایت آبی و تخلخل مؤثر در نظر گرفته شده که در هر نقطه و در هر زمان، مقادیر ارتفاع سطح ایستابی محاسبه شده از مدل عددی و تحلیلی (h_c)، با تقریب خوبی به مقادیر اندازه‌گیری شده آنها (h_m) نزدیک است. به بیان بهتر، منحنی سطح ایستابی که مدل‌های عددی پیش‌بینی می‌کنند و منحنی که از آزمایش بهدست آمده، با مقدار خطای حداقل بر هم متنطبق خواهند شد.

۵- واسنجی مدل^۲

به منظور واسنجی و ارزیابی مدل‌های فوق، از داده‌های اندازه‌گیری شده در آزمابشگاه استفاده شد. در این حالت برای انجام آزمایشها، یک نمونه فیزیکی زهکشی به ابعاد ۱۰۰، ۳۰ و ۸۰ سانتی‌متر ساخته شد. برای مشاهده لایه خاک در یک طرف مدل از صفحه پلکسی - گلاس شفاف استفاده شد. در داخل مدل و به فواصلی که در شکل ۴ دیده می‌شود، تعداد ۷ پیزومتر به قطر ۰/۵ سانتی‌متر

برای تبدیل مسئله مقید به نامقید از روش تابع جریمه^۱ استفاده شد. در این روش محدودیتهای مسئله با تغییر متغیر حذف شده و در نتیجه می‌توان از یکی از روش‌های بهینه‌سازی نامقید برای این حالت استفاده کرد (Greig 1980).

روش‌های مختلف بهینه‌سازی نامقید را باکس (1966) برای توابع هدف ۱۰، ۲۰، ۳۵ و ۵۰ متغیر مستقل مقایسه کرده است. این مقایسه‌ها بر اساس تعداد متغیرهای مستقل انجام شده است. به دلیل نتایج خوب و نیاز نداشتن به محاسبه مشتق تابع هدف، روش پاول از میان روش‌های مختلف انتخاب شد. روش پاول، روشی بسیار قوی در بهدست آوردن نقطه حداقل توابع چند متغیره بدون محدودیت محسوب می‌شود. در این روش برای پیدا کردن نقطه بهینه با تابع هدف یا حداقل، n را امتداد هادی در نظر گرفته و روی آن حرکت می‌کنیم تا نقطه بهینه روی یکی از این امتدادها بدست آید (Greig 1980).

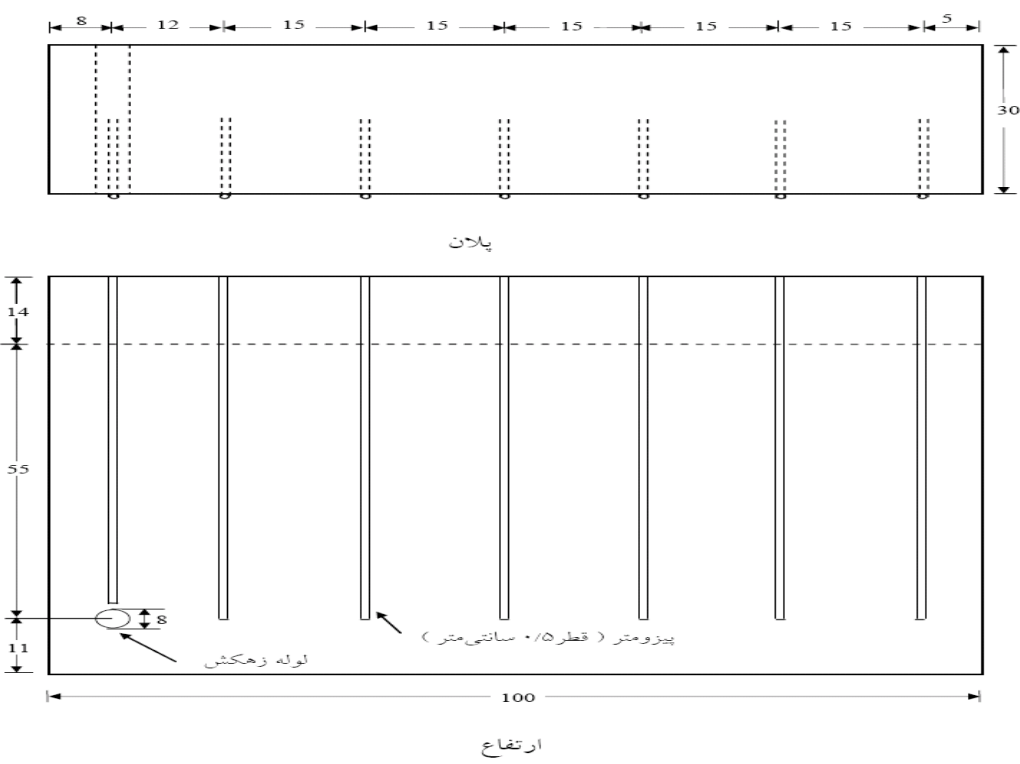
۴- تشریح مدل‌های معکوس

در مدل‌های معکوس پیشنهادی، از مدل‌های عددی یک بعدی غیرماندگار زهکشی با فرض ثابت و متغیر

در آن به وجود آید. بعد از این مدت، در لوله زهکش باز و آب داخل خاک به طو کامل زهکشی شد. بعد از زهکشی کامل خاک، لوله زهکش بسته و بار دیگر خاک مدل به روش ذکر شده اشباع و سطح ایستابی در ارتفاع ۶۴/۵ سانتی‌متری ثبیت شد. با ثبیت سطح ایستابی شیر مخزن آب بسته و با باز شدن زهکش نوسانات سطح ایستابی در زمانهای مختلف اندازه‌گیری شد. ارتفاع سطح ایستابی در درون پیزومترها در فواصل زمانی ۱۰، ۳۰، ۵۰ و ۶۰ دقیقه قرائت و ثبت شد. هدایت آبی اشباع خاک از راه اندازه‌گیری زه آب خروجی و ارتفاع ثابت سطح ایستابی برابر ۹/۶۵ سانتی‌متر در روز اندازه‌گیری شد.

برای برآورد تابع تخلخل مؤثر از روش تیلور(۱۹۶۰) و تابع پیشنهادی پندی و همکاران (۱۹۹۲) استفاده شد.

نصب شد. لوله‌ای از جنس PVC با ۱/۵ درصد مساحت سوراخ‌شده‌گی جانی و ۴ سانتی‌متر قطر، در یکی از دو انتهای طولی تانک نصب شد. در کف مدل و در وسط آن یک دستگاه شیر آب نصب و از آن برای اشباع تدریجی خاک از پایین به بالا و همچنین اندازه‌گیری هدایت آبی اشباع و تخلخل مؤثر استفاده شد. در داخل تانک و تا ارتفاع ۵ سانتی‌متری شن درشت ریخته شد. خاک انتخاب شده بعد از خشکشدن با هوا، از الک دو میلی‌متری گذرانده شده و سپس با استفاده از آن، مدل ساخته شده تا ارتفاع ۶۶ سانتی‌متری پر شد. بعد از پر کردن خاک، در لوله زهکش بسته شد و با اتصال شیر آب کف مدل به یک مخزن کوچک آب، اشباع تدریجی خاک و خارج کردن هوای داخل خاک انجام شد. بعد از اشباع کامل خاک، مدل به مدت ۱/۵ ماه به صورت غرقاب به حال خود رها شد تا خاک ساختمان طبیعی‌تری تشکیل داده و تراکم‌های لازم



شکل ۴ پلان و ارتفاع مدل فیزیکی زهکشی (ابعاد بر حسب سانتی‌متر است).

جدول ۱ مقادیر خصوصیات هیدرولیکی اشباع برآورده شده به وسیله مدل مسئله معکوس با فرض ثابت بودن تخلخل مؤثر

| f (m^3/m^3) | K ($m/days$) | |
|----------------------|---------------------|-----------------|
| ۰/۰۱۳ | ۰/۰۹۶۵ | اندازه‌گیری شده |
| ۰/۰۰۶ | ۰/۱۰۰ | مدل معکوس عددی |

جدول ۲ مقادیر خصوصیات هیدرولیکی اشباع برآورده شده به وسیله مدل مسئله معکوس با فرض متغیر بودن تخلخل مؤثر

| Z | q | f_o (m^3/m^3) | K ($m/days$) | |
|-------|-------|------------------------|---------------------|-----------------|
| ۰/۷۱۰ | ۰/۹۸۵ | ۰/۰۲۹۱ | ۰/۰۹۶۵ | اندازه‌گیری شده |
| ۰/۸۶۰ | ۰/۸۶۲ | ۰/۰۱۴۳ | ۰/۱۰۳ | مدل معکوس عددی |

۵-۲- واسنجی با استفاده از داده‌های پندی و همکاران (۱۹۹۲)

با استفاده از داده‌های ارتفاع سطح ایستابی، مدل‌های عددی پیشنهاد شده واسنجی شد. مقادیر اندازه‌گیری و برآورده شده خصوصیات هیدرولیکی اشباع خاک در جداولهای ۳ و ۴ نشان داده شده است.

جدول ۳ مقادیر خصوصیات هیدرولیکی اشباع برآورده شده به وسیله مدل مسئله معکوس با فرض ثابت بودن تخلخل مؤثر

| f (m^3/m^3) | K ($m/days$) | |
|----------------------|---------------------|-----------------|
| ۰/۰۳۱۰ | ۰/۰۳۷۵ | اندازه‌گیری شده |
| ۰/۰۱۷۴ | ۰/۰۳۷۵ | مدل معکوس عددی |

جدول ۴ مقادیر خصوصیات هیدرولیکی اشباع برآورده شده به وسیله مدل مسئله معکوس با فرض متغیر بودن تخلخل مؤثر

| Z | q | f_o (m^3/m^3) | K ($m/days$) | |
|-------|-------|------------------------|---------------------|-----------------|
| ۰/۶۰۰ | ۰/۸۰۰ | ۰/۰۴۸۵ | ۰/۰۳۷۵ | اندازه‌گیری شده |
| ۰/۸۸۳ | ۰/۳۱۷ | ۰/۰۲۱۸ | ۰/۰۳۷۵ | مدل معکوس عددی |

با اندازه گیری مقادیر تخلخل مؤثر نسبت به ارتفاع سطح ایستابی، از میان مقادیر مذکور بهترین منحنی برآرش داده شد و مقادیر q و f_o به ترتیب برابر $۰/۰۹۸۵$ ، $۰/۰۶۹$ و $۰/۰۲۹$ تعیین شد.

برای ارزیابی بیشتر مدل‌های پیشنهادی از اطلاعات و داده‌های ارائه شده توسط پندی و همکاران (۱۹۹۲) نیز استفاده شد. آنان در طرحی تحقیقاتی، نیمرخ سطح ایستابی، هدایت آبی اشباع و تخلخل مؤثر را اندازه‌گیری کردند. آنها با استفاده از یک نمونه تانک ماسه نیمرخ‌های سطح ایستابی را در زمانهای ۲، ۳، ۴، ۵، ۶، ۷، ۸، ۹ و ۱۰ روز از شروع زهکشی اندازه‌گیری کردند. مقدار هدایت هیدرولیکی خاک مورد آزمایش، با استفاده از روش‌های چاهک و چاهک معکوس برابر $۰/۰۳۷۵$ متر در روز برآورد شد. مقدار تخلخل مؤثر نیز در آزمایشگاه برابر $۰/۰۳۱$ اندازه‌گیری شد. مقادیر f_o ، q و Z (پارامترهای ثابت تابع تخلخل مؤثر) به ترتیب برابر $۰/۰۴۸۵$ ، $۰/۰۸$ و $۰/۰۶$ به دست آمد.

در این تحقیق از قسمتی از داده‌های ارتفاع سطح ایستابی برای واسنجی مدل‌های پیشنهادی و از بقیه داده‌ها برای ارزیابی دقت پیش‌بینی استفاده شد. برای واسنجی مدل، مقادیر ارتفاع سطح ایستابی در زمانها و فواصل مختلف تعیین و به عنوان داده‌های ورودی به برنامه کامپیوتری معرفی شد. مدل اجرا شد و مقادیر بهینه هدایت آبی و تخلخل مؤثر و همچنین پارامترهای ثابت تابع تخلخل مؤثر برآورد شد.

۵-۱- واسنجی با استفاده از داده‌های اندازه‌گیری شده

مقادیر اندازه‌گیری و برآورده شده از مدل‌های معکوس عددی با فرض ثابت و متغیر بودن تخلخل مؤثر در جداول ۱ و ۲ آورده شده است.

پیش‌بینی و با مقادیر اندازه‌گیری شده آنها مقایسه شد
(شکل ۶).

ب) مدل عددی با فرض متغیر بودن تخلخل مؤثر مشابه مدل عددی قبلی، در این حالت نیز با استفاده از مدل عددی، نیمرخ‌های سطح ایستابی در زمانهای ۹۰ و ۱۵۰ دقیقه از شروع زهکشی پیش‌بینی و با مقادیر اندازه‌گیری شده مقایسه شد. نیمرخ سطح ایستابی پیش‌بینی شده در زمان ۹۰ دقیقه از شروع زهکشی در شکل ۷ نشان داده شده است.

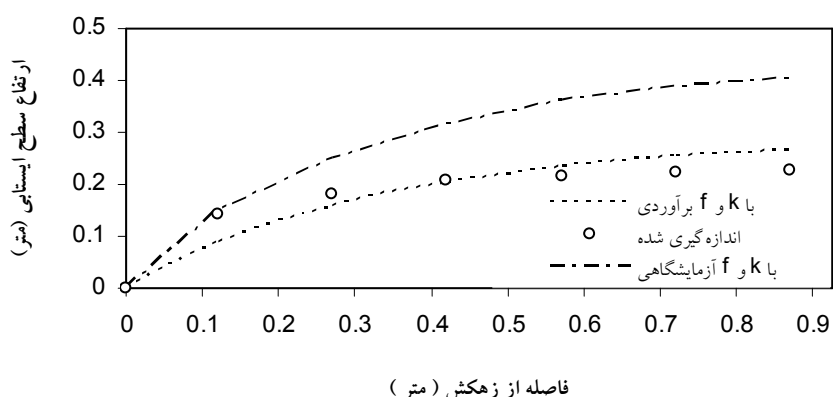
در شکل ۸ مقادیر زمانی ارتفاع سطح ایستابی در حد فاصل دو زهکش، پیش‌بینی شده به وسیله مدل عددی نشان داده شده است.

۶- اعتبارسنجی مدل

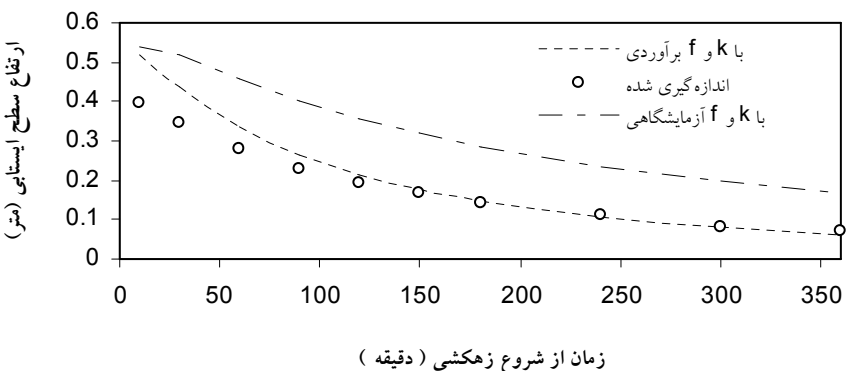
۶-۱- اعتبار سنجی مدل با استفاده از داده‌های اندازه‌گیری شده

الف) مدل عددی با فرض ثابت بودن تخلخل مؤثر

با استفاده از مقادیر بهینه و آزمایشگاهی پارامترهای هیدرولیکی و مدل‌های عددی یکبعدی، نیمرخ سطح ایستابی در زمانهای ۹۰ و ۱۵۰ دقیقه از شروع زهکشی پیش‌بینی شده. نیمرخ‌های پیش‌بینی و اندازه‌گیری شده در زمان ۹۰ دقیقه از شروع زهکشی در شکل ۵ نشان داده شده است. همچنین با استفاده از این مقادیر تغییرات زمانی ارتفاع سطح ایستابی در حد فاصل دو زهکش



شکل ۵ نیمرخ سطح ایستابی اندازه‌گیری شده و تخمینی از مدل عددی در زمان ۹۰ دقیقه از شروع زهکشی با فرض ثابت بودن تخلخل مؤثر



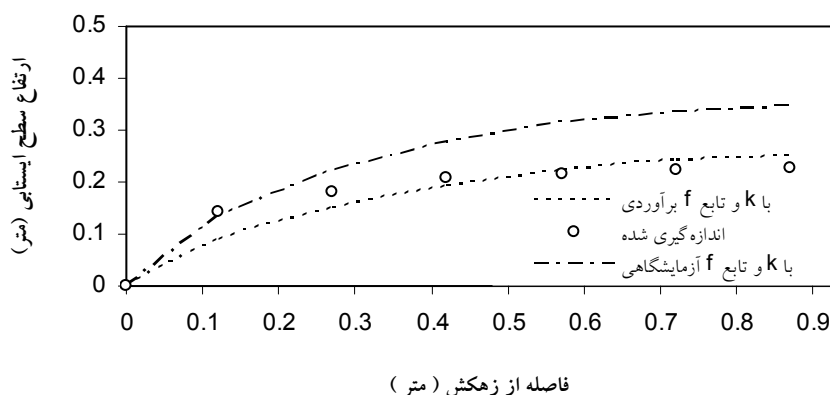
شکل ۶ تغییرات زمانی مقدار ارتفاع سطح ایستابی در حد واسطه دو زهکش با فرض ثابت بودن تخلخل مؤثر

ایستابی در زمانهای ۳ و ۵ روز از شروع زهکشی پیش‌بینی شد. نیمرخ‌های پیش‌بینی و اندازه‌گیری شده در زمان ۳ روز از شروع زهکشی در شکل ۹ نشان داده شده است. همچنین با استفاده از این مقادیر تغییرات زمانی ارتفاع سطح ایستابی در حد فاصل دو زهکش پیش‌بینی و با مقادیر اندازه‌گیری شده آنها مقایسه شد (شکل ۱۰).

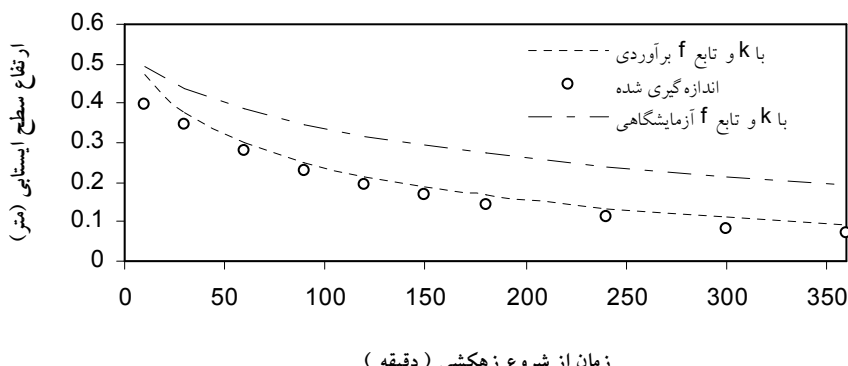
۶-۲- اعتبارسنجی مدل با استفاده از داده‌های پندی و همکاران (۱۹۹۲)

الف) مدل عددی با فرض ثابت بودن تخلخل مؤثر

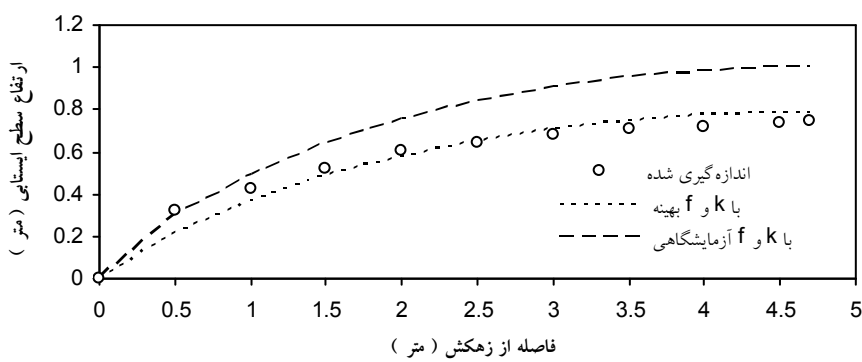
با استفاده از مقادیر بهینه و آزمایشگاهی پارامترهای هیدرولیکی و مدل‌های عددی یک‌بعدی، نیمرخ سطح



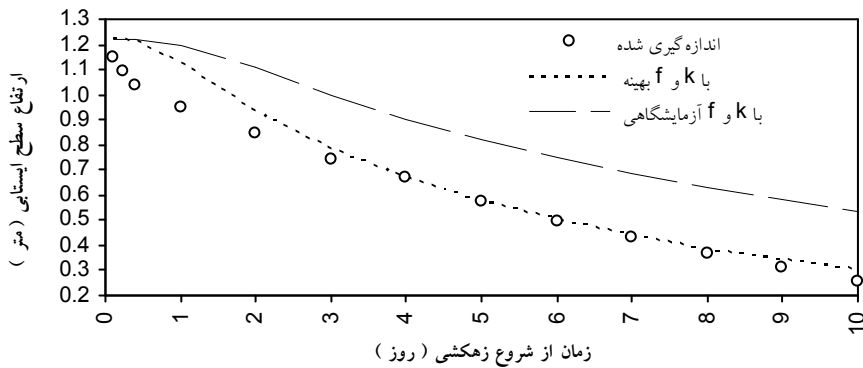
شکل ۷ نیمرخ سطح ایستابی اندازه‌گیری شده و تخمینی از مدل عددی در زمان ۹۰ دقیقه از شروع زهکشی با فرض متغیر بودن تخلخل مؤثر



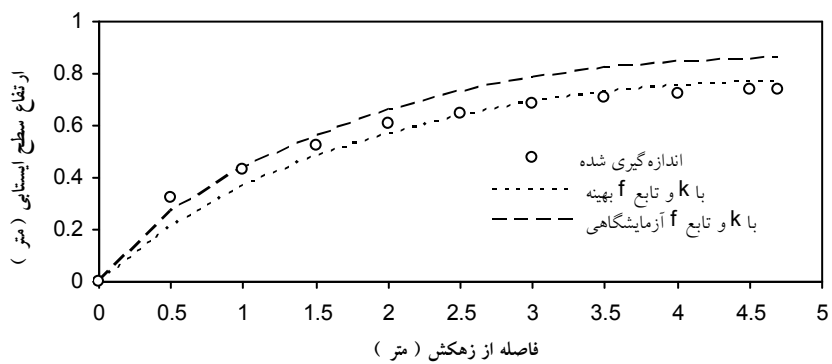
شکل ۸ تغییرات زمانی مقدار ارتفاع سطح ایستابی در حد واسطه دو زهکش با فرض متغیر بودن تخلخل مؤثر



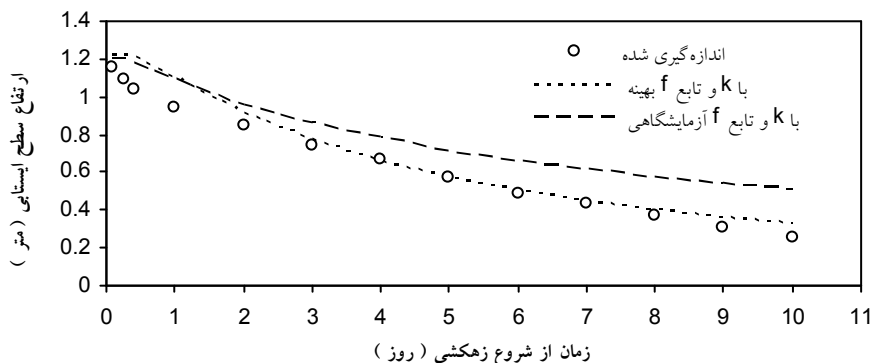
شکل ۹ نیمرخ سطح ایستابی اندازه‌گیری شده و تخمینی از مدل عددی در زمان سه روز از شروع زهکشی با فرض ثابت بودن تخلخل مؤثر



شکل ۱۰ تغییرات زمانی مقدار ارتفاع سطح ایستایی در حد واسطه دو زهکش با فرض ثابت بودن تخلخل مؤثر



شکل ۱۱ نیمرخ سطح ایستایی اندازه گیری شده و تخمینی از مدل عددی در زمان سه روز از شروع زهکشی با فرض متغیر بودن تخلخل مؤثر



شکل ۱۲ تغییرات زمانی مقدار ارتفاع سطح ایستایی در حد واسطه دو زهکش با فرض متغیر بودن تخلخل مؤثر

نیمرخ سطح ایستایی پیش‌بینی شده در زمان ۳ روز از شروع زهکشی در شکل ۱۱ نشان داده شده است. در شکل ۱۲ مقادیر زمانی ارتفاع سطح ایستایی در حد فاصل دو زهکش، پیش‌بینی شده به وسیله مدل عددی نشان داده شده است.

ب) مدل عددی با فرض متغیر بودن تخلخل مؤثر مشابه مدل عددی قبلی، در این حالت نیز با استفاده از مدل عددی، نیمرخ‌های سطح ایستایی در زمانهای ۳ و ۵ روز از شروع زهکشی پیش‌بینی و با مقادیر اندازه گیری شده مقایسه شد.

$$MAPE = 0, EF = 1, ME = 0, RMSE = 0$$

خواهد بود. مقادیر محاسبه شده آماره‌های فوق برای داده‌های اندازه‌گیری شده و داده‌های پندی و همکاران (۱۹۹۲) به ترتیب در جدولهای ۵ و ۶ ارائه شده است.

۸- نتیجه‌گیری

مشاهده شکلهای ۵ تا ۱۲ نشان می‌دهد که نیمرخ‌های سطح ایستابی پیش‌بینی شده با مقادیر برآورده شده خصوصیات هیدرودینامیک خاک، به مرتب دقیق‌تر از نیمرخ‌هایی است که با استفاده از ارقام آزمایشگاهی این خصوصیات پیش‌بینی شده‌اند. این موضوع را می‌توان به عدم تطابق شرایط واقعی هیدرولیک جریان به طرف رهکش، با شرایط آزمایشگاهی تعیین هدایت آبی اشباع و تخلخل مؤثر مرتبط دانست.

مشاهده این شکلها نشان می‌دهد که تاثیر خطای اندازه‌گیری خصوصیات فوق بر دقت پیش‌بینی مدل‌های ریاضی بسیار قابل توجه است.

مشاهده شکلهای مزبور همچنین نشان می‌دهد که اگر از مقادیر اندازه‌گیری شده خصوصیات هیدرودینامیک خاک برای پیش‌بینی نیمرخ سطح ایستابی استفاده شود، مدل عددی یک‌بعدی با فرض متغیر بودن تخلخل مؤثر، دقت بالاتری در پیش‌بینی ارتفاع سطح ایستابی دارد. اما اگر از مقادیر برآورده شده از روش پیش‌نها دی برای پیش‌بینی ارتفاع سطح ایستابی استفاده شود، تفاوت معناداری بین دقت نتایج مدل‌های عددی یک‌بعدی وجود ندارد (جدوال ۵ و ۶). نتایج همچنین نشان می‌دهند که کارایی مدل پیش‌نها در پیش‌بینی ارتفاع سطح ایستابی در حد فاصل دو زهکش بسیار بیشتر از سایر نقاط است. در نقاط نزدیک به زهکش از آنجا که ماهیت جریان دو بعدی است، لذا مدل‌های یک‌بعدی پیش‌نها دی، ارتفاع سطح ایستابی را با دقت کمتری پیش‌بینی می‌کنند.

۷- مقایسه کمی مدل‌های معکوس عددی و تحلیلی

برای مقایسه کمی عملکرد مدل‌های معکوس عددی پیش‌نها دی می‌توان از تجزیه و تحلیل خطاهای باقیمانده^۱ و اختلاف بین مقادیر اندازه‌گیری و برآورده شده، استفاده کرد. آماره‌های زیادی برای ارزیابی عملکرد مدلها وجود دارد (Homaee et al. (2002)). در این مقاله از جذر میانگین مربعات خطأ^۲ (RMSE)، خطای حداثت^۳ (ME)، راندمان یا کارایی مدل^۴ (EF) و میانگین درصد خطأ^۵ (MAPE) برای ارزیابی عملکرد مدل‌های معکوس عددی استفاده شد. بیان ریاضی این آماره‌ها بصورت زیر است.

$$RMSE = \left[\frac{\sum_{i=1}^n (h_i^c - h_i^m)^2}{n} \right]^{1/2} \quad (8)$$

$$ME = \max \left| h_i^c - h_i^m \right|_{i=1}^n \quad (9)$$

$$EF = \frac{\sum_{i=1}^n (h_i^m - \bar{h})^2 - \sum_{i=1}^n (h_i^c - \bar{h})^2}{\sum_{i=1}^n (h_i^m - \bar{h})^2} \quad (10)$$

$$MAPE = \frac{\sum_{i=1}^n \left| \frac{h_i^c - h_i^m}{h_i^m} \right|}{n} \quad (11)$$

که در آن h_i^c و h_i^m به ترتیب مقدار ارتفاع سطح ایستابی پیش‌بینی و اندازه‌گیری شده، n تعداد نقاط اندازه‌گیری و \bar{h} مقدار میانگین ارتفاع سطح ایستابی اندازه‌گیری شده است.

در شرایطی که مقادیر ارتفاع سطح ایستابی پیش‌بینی و اندازه‌گیری شده برابر باشند (بهترین حالت) مقدار آماره‌ها به ترتیب برابر:

1. Residual Error
2. Root Mean Squar Error
3. Maximum Error
4. Modeling Efficiency
5. Mean Absolute Percentage

جدول ۵ مقدار آماره‌ها (با استفاده از داده‌های اندازه‌گیری شده)

| آماره | یک بعدی (تخلخل مؤثر ثابت) | یک بعدی (تخلخل مؤثر متغیر) |
|-------------------|------------------------------|-------------------------------|
| RMSE (m) | ۰/۰۲۶ | ۰/۰۲۳۷ |
| ME (m) | ۰/۰۶۵۷ | ۰/۰۵۶۴ |
| EF (%) | ۸۳/۷ | ۸۶/۵ |
| MAPE (%) | ۱۸/۹ | ۱۷/۲۷ |

جدول ۶ مقدار آماره‌ها (با استفاده از داده‌های پندی و همکاران (۱۹۹۲))

| | مدل تحلیلی (گلور - دام) | یک بعدی (تخلخل مؤثر ثابت) | یک بعدی (تخلخل مؤثر متغیر) |
|-------------------|----------------------------|------------------------------|-------------------------------|
| RMSE (m) | ۰/۰۹۸۵ | ۰/۰۵۱۷ | ۰/۰۴۸۶ |
| ME (m) | ۰/۲۷۸۶ | ۰/۱۹۳ | ۰/۱۹۷ |
| EF (%) | ۷۰/۷۲ | ۹۱/۹۵ | ۹۲/۸۷ |
| MAPE (%) | ۱۹/۷۸ | ۱۰/۷ | ۱۰/۲ |

دقت بسیار بالاتری صورت گرفته است.

۹- فهرست عالئم

| | |
|------------------------|---|
| <i>L</i> | فاصله مابین دو زهکش |
| <i>H</i> | ارتفاع سطح ایستابی در بالای لایه نفوذ ناپذیر |
| <i>h</i> | ارتفاع سطح ایستابی در بالای سطح زهکش‌ها |
| <i>H_o</i> | به ترتیب ارتفاع سطح ایستابی در بالای لایه نفوذ ناپذیر |
| <i>h_o</i> | به ترتیب ارتفاع سطح ایستابی در بالای سطح زهکش‌ها و لایه نفوذ ناپذیر |
| <i>d_e</i> | فاصله عمودی زهکش تا لایه نفوذ ناپذیر |
| <i>k</i> | هدایت آبی اشباع خاک |
| <i>f</i> | تخلخل موثر خاک |
| <i>f_(h)</i> | مقدار تخلخل موثر در ارتفاع سطح ایستابی <i>h</i> |
| <i>f_o</i> | مقدار تخلخل موثر خاک در زمانیکه ارتفاع ایستابی در سطح زهکش‌ها قرار گرفته است (<i>h = 0</i>) |
| <i>q</i> | ثابت تجربی تابع تخلخل موثر خاک |
| <i>Z</i> | ثابت تجربی تابع تخلخل موثر خاک |
| <i>D</i> | مقدار متوسط پتانسیل هیدرولیکی خاک |

نتایج حاصل از این تحقیق نشان می‌دهد که روش مسئله معکوس با مدل‌های عددی پیشنهادی، روشی مؤثر در برآورد هدایت آبی و تخلخل مؤثر و همچنین تابع تخلخل مؤثر بوده و دقت آن بسیار بهتر از روش اندازه‌گیری نقطه‌ای این خصوصیات است. در روش پیشنهادی مقدار میانگین خصوصیات آبی اشباع خاک بین دو زهکش با دقت بالائی برآورد می‌شود، لذا قطعیت پارامترهای تخمینی بسیار بیشتر از نتایج سایر روش‌های اندازه‌گیری فعلی است. با روش پیشنهادی در این تحقیق مقادیر میانگین خصوصیات هیدرولیکی اشباع خاک به طور همزمان برآورد می‌شود. این مشخصه در سایر روش‌های اندازه‌گیری فعلی وجود ندارد و نیز مشاهده شد که انطباق خوبی بین نیمرخ‌های سطح ایستابی پیش‌بینی شده به وسیله مدل عددی و نیمرخ‌های آزمایشگاهی مشابه وجود دارد (جدول ۴ و ۵). وقتی دو نیمرخ سطح ایستابی پیش‌بینی و اندازه گیری شده با دقت قابل قبولی بر یکدیگر منطبق شوند، هدف اصلی که همان پیش‌بینی صحیح‌تر افت سطح آب در زمانها و مکانهای مختلف بوده، برآورده شده است. یعنی طراحی فاصله زهکش‌ها با

26: pp. 41-58.

- [11] Moghal Ma., Beekma J., Beekman W. and Akhter J. (1993), Field determination of soil hydraulic properties for simulation of the optimum water table regime. *Irrigation and Drainage Systems*. 6 (4): pp. 275 – 290.
- [12] Pandey R. S., Bhattacharya A. K., Singh O. P. and Gupta S. K., (1992), Drawdown solutions with variable drainable porosity, *J. Irrig. Drain. Eng.*, 118: pp. 382-395.
- [13] Parsons J. E., Skaggs R. W. and Doty C. W., (1987), Application of a three dimensional water management model, *Trans. ASAE*, 30: pp. 960-968.
- [14] Parsons J. E., Skaggs R. W. and Doty C. W., (1991a), Development and testing of a water management simulation model (WATERCOM): Development, *Trans. ASAE*, 34: pp.120-128.
- [15] Parsons J. E., Skaggs R. W. and Doty C. W., (1991b), Development and testing of a water management simulation model (WATERCOM): Field testing, *Trans. ASAE*, 34: pp. 1674 – 1682.
- [16] Ritter A., Hupet F., Carpena R. M., Lambot S. and Van Clooster M., (2003)., Using inverse methods for estimating soil hydraulic properties from field data as an alternative to direct methods, *Agriculture Water Management*. 59: pp. 77-96.
- [17] Schwab G. O., Fangmeir D. D. and Elliot W. J., (1996), Soil and water management systems, John Wiley & Sons, Inc., New York.
- [18] Taylor G. S., (1960), Drainage porosity evaluations from outflow measurements and its use in drawdown equation. *Soil Science*, 90 (60): pp. 338 – 343.
- [19] Van Schilfgaarde, J., (1974), Non-steady flow to drains. In: J. van Schilfgaarde (Editor), *Drainage for agriculture*. American Soc. Of Agronomy, Madison, pp. 245-270.
- [20] Verma A. K. and Gupta S. K., Singh K. K. and Chauhan H. S. (1998), An analytical solution for design of bi-level drainage systems, *Agricultural Water Management*, 37: pp. 75-92.
- [21] Zou Z. Y., Young M. H., Li, Z. and Wierenga P. J., (2001), Estimation of depth averaged unsaturated soil hydraulic properties from infiltration experiments, *Journal of Hydrology*. 242: pp. 26 – 42.

۱۰- منابع

- [۱] پاتانکار سوهاز وی. ۱۳۸۲، محاسبات عددی- کامپیوتری انتقال حرارت و حرکت سیالات. ترجمه محمد مقیمان، اشارات دانشگاه فردوسی مشهد، ص. ۲۹۵.
- [2] Abbaspour K., Sonnleitner M. A. and Schulin R., (1999), Uncertainty in estimation of soil hydraulic properties by inverse modeling: example lysimeter experiments *Soil Science of American Journal*, 63:pp. 501-509.
- [3] Box M. J., (1966), A comparison of several current optimization methods and use of transformation in constrained problems, *The Computer Journal*, 9: pp. 67-77.
- [4] Chauhan H. S. Schwap G. O. and Hamdy, M. Y., (1968), Analytical and computer solutions of transient water tables for drainage of sloping lands. *Water Resour. Res.*, 4: pp.573 – 579.
- [5] Dane J. H. and Hruska S., (1983), In – situ determination of soil hydraulic properties during drainage. *Soil Science Society of American Journal*, 47: pp. 619 – 624.
- [6] Greig M. D., (1980), Optimization, Longman Publishing Company, New York.
- [7] Homaei, M. Dirksen, C. and Feddes, R. A., (2002), Simulation of root water uptake I. non-uniform transient salinity using different macroscopic reduction functions. *Agricultural Water Management*, 57: pp. 89-109.
- [8] Hopmans J. W. and Simunek J., (1999), Review of inverse estimation of hydraulic properties. In: Van Genuchten, M. TH., Leij, F. J., Wu, L. (Eds), *Proceedings of the International Workshop, characterization and measurement of the hydraulic properties of unsaturated porous media*, University of California, Revisede, CA. PP. 713 – 724.
- [9] Jhorar R. K., Bastiaanssen W. G. M., Feddes R. A., and van Dam J. C. (2002), Inversely estimating soil hydraulic functions using evapotranspiration fluxes, *Journal of hydrology*, 258: pp. 198-213.
- [10] Kumar S., Gupta S. K. and Ram S. (1994), Inverse technique for estimating transmissivity and drainable pore space utilizing data from subsurface drainage experiment, *Agricultural Water Management*.